

1

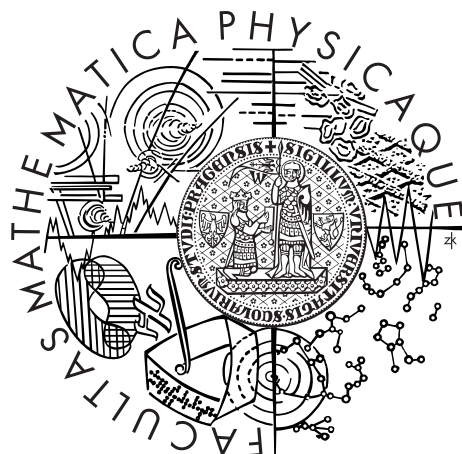
Univerzita Karlova v Praze

2

Matematicko-fyzikální fakulta

3

BAKALÁŘSKÁ PRÁCE



4

Filip Šedivý

5

Klastrová rovinnost

6

Informatický ústav Univerzity Karlovy

Vedoucí bakalářské práce: RNDr. Jelínek Vít, Ph.D.

7

Studijní program: Informatika

Studijní obor: obecná informatika

8

Praha 2015

9 Prohlašuji, že jsem tuto bakalářskou práci vypracoval samostatně a výhradně
10 s použitím citovaných pramenů, literatury a dalších odborných zdrojů.

11 Beru na vědomí, že se na moji práci vztahují práva a povinnosti vyplýva-
12 jící ze zákona č. 121/2000 Sb., autorského zákona v platném znění, zejména
13 skutečnost, že Univerzita Karlova v Praze má právo na uzavření licenční
14 smlouvy o užití této práce jako školního díla podle § 60 odst. 1 autorského
15 zákona.

V dne

Podpis autora

Název práce: Klastrová rovinnost

Autor: Filip Šedivý

Katedra / Ústav: Informatický ústav Univerzity Karlovy

Vedoucí bakalářské práce: RNDr. Jelínek Vít, Ph.D. , Informatický ústav Univerzity Karlovy

Abstrakt: Práce se zabývá problémem klastrové rovinnosti a ubírá se dvěma směry. Jedním směrem je otázka výpočetní složitosti, kde ukážeme, jak klastrovou rovinnost řešit v lineárním nedeterministickém čase vzhledem k počtu vrcholů vstupního grafu. Druhým směrem je charakterizace omezených verzí klastrové rovinnosti a to pro klastrové grafy, kde klastry mají velikost 2 a grafem je kružnice v jednom případě a v druhém je to cesta. Charakterizaci provedeme pomocí operací redukucí klastrový graf a o těchto operacích dokážeme, že zachovávají klastrovou rovinnost. Pro tento účel jsem definoval pojem klastrového minoru, který mi umožnil studovat minimální klastrově nerovinné instance. Kromě toho uvedeme i již známe výsledky o tomto problému.

Keywords: Clustered planarity

Klíčová slova: Klastrová rovinnost, klastrové minory, výpočetní složitost, charakterizace minimálních klastrových grafů bez nakreslení

Department: Computer Science Institute of Charles University

Supervisor: RNDr. Jelínek Vít, Ph.D. , Computer Science Institute of Charles University

Abstract: Thesis looks into a problem of clustered planarity and has two ways. First way is question about computational complexity where we show how clustered planarity could be solved in linear nondeterministic time in consideration of number of vertices of input graph. Second way is characterization of bounded version of clustered planarity and so for clustered graphs where clusters have size two and graphs is cycle in first case and in second case it is path. We make a characterization using operation which reduce clustered graph and we show about them that they preserve clustered planarity. For this purpose I define a notion of clustered minor that it is help me to study minimal nonclustered planarity instances. We also mention known results about this problem.

Keywords: Clustered planarity, clustered minors, computational complexity, characterization of minimal clustered graphs without embedding

16 Obsah

17	1 Úvod	2
18	1.1 Aplikace klastrové rovinnosti	4
19	2 Rešerše	5
20	3 Složitost	8
21	3.1 Datová reprezentace	8
22	3.2 časová složitost	10
23	3.3 prostorová složitost	12
24	4 Minorové operace	13
25	5 Speciální instance	17
26	5.1 Kružnice s klastry velikosti 2	17
27	5.2 Cesty s klastry velikosti 2	23

28 Kapitola 1

29 Úvod

30 Problém existence rovinného klastrového nakreslení grafu (dále jen klastrová
31 rovinnost) je jedním možným zobecněním klasické grafové rovinnosti pro pří-
32 pad, kdy kromě vrcholů a hran máme hierarchii skupin vrcholů. Skupinu vr-
33 cholů nazýváme klastrem. Pro klastrovou rovinnost není znám polynomiální
34 algoritmus, a není známo, zda je tento problém NP-úplný.

35 **Definice 1.1.** Mějme graf $G = (V, H)$. Pod *klastrem* C budeme uvažovat
36 podmnožinu vrcholů $C \subseteq V$.

37 *Klastrovou hierarchií* jest množina klastřů, kde pro každé dva klastry C_1 a
38 C_2 platí následující

- 39 • buď $C_1 \cap C_2 = \emptyset$
- 40 • nebo $C_1 \subset C_2$

41 *Klastrový graf* je dvojice (G, \mathcal{C}) , kde G je graf a \mathcal{C} je klastrová hierarchie.

42 Formálně se můžeme dívat na klastrovou hierarchii jako podmnožinu
43 $\mathcal{P}(V)$. To může vést k tomu, že bychom si mohli myslet, že klastřů může
44 být velmi mnoho vzhledem k velikosti původního grafu. V kapitole složitost
45 ukážeme, že počet klastřů je lineární vzhledem k počtu vrcholů grafu G . V ně-
46 kterých situacích se hodí předpokládat, že množina všech vrcholů vždy tvoří
47 klastř a též jednotlivé vrcholy tvoří klastry. Například se tento předpoklad
48 hodí v důkazu o počtu klastřů.

49 **Definice 1.2.** Pod *klastrovým nakreslením* rozumíme to, že vrcholy a hrany
50 nakreslíme do roviny jako u rovinného nakreslení a navíc doplníme nakreslení

51 klastřů.

52 *Nakreslením klastru* v rovině je topologická kružnice. Ve vnitřku kružnice leží
53 pouze vrcholy z daného klastru a hrany grafu smí protínat hranici nakreslení
54 klastru nejvýše jedenkrát. Pro libovolné dva klastry se nesmí stát, že by se
55 jejich nakreslení protínala. Nakreslení klastru K budeme značit γ_K
56 Klastrový graf (G, \mathcal{C}) je *klastrově rovinný* pokud existuje nějaké jeho klastrové
57 nakreslení.

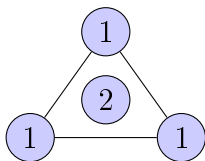
58 Omezení pro hrany v nakreslení klastru nám zaručuje, že hrany vedoucí
59 mezi vrcholy klastru leží celé ve vnitřku nakreslení klastru. Podobně hrany
60 spojující vrcholy mimo klastr musí ležet ve vnějšku. Hrana protínající nakres-
61 lenou kružnici tedy musí spojovat vrchol z klastru s vrcholem mimo klastr.

62 Nyní můžeme uvést definici rozhodovacího problému klastrové rovinnosti.
63 Klastrová rovinnost má dvě základní verze. A to nakreslená a nenakreslená
64 verze.

65 **Definice 1.3.** V *nenakreslené verze klastrové rovinnosti* máme rozhodnout
66 zda pro daný klastrový graf existuje jeho klastrové nakreslení.

67 U *nakreslené verze klastrové rovinnosti* máme na vstupu nakreslení grafu
68 a klastrovou hierarchii a máme rozhodnout zda lze dokreslit klastry, tak
69 abychom obdrželi klastrové nakreslení.

70 Nakreslená verze klastrové rovinnosti je už na pohled omezena silnější
71 podmínkou a to nakreslením vstupního grafu. Pokud tedy nelze dokreslit
72 klastry tak, abychom obdrželi klastrové nakreslení, pak klastrový graf stále
73 může být klastrově rovinný. Viz následující příklad



Obrázek 1.1: Čísla označují, do jakého klastru vrchol patří. Na první pohled je zřejmé, že není možné dokreslit klastr 1 tak, aby vrchol označený jako 2 nebyl ve vnitřku nakreslení klastru, ale je také zjevné, že příslušný klastrový graf je klastrově rovinný.

74 Nyní definujeme několik pojmů, které jsou potřeba pro uvedení věty dá-
75 vající kombinatorický pohled na problém klastrové rovinnosti.

76 **Definice 1.4.** Mějme klastrový graf $(G[V, E], \mathcal{C})$. Klastř K je *souvislý* pokud
77 graf indukovaný na vrcholech klastř je souvislý.

78 **Definice 1.5.** Mějme klastrový graf $(G[V, E], \mathcal{C})$. *Saturátor* S je podmnožina
79 $\binom{V}{2} \setminus E$ taková, že každý klastř je v $(G[V, E \cup S], \mathcal{C})$ souvislý.

80 Mejmě nakreslení grafu G , označme jej ρ . *Nakreslený saturátor* S je množina
81 nakreslených hran takových, že v nakreslení $\rho \cup S$ je každý klastř
82 souvislý.

83 **Definice 1.6.** Mějme klastrový graf $(G[V, E], \mathcal{C})$. V nakreslení klastrového
84 grafu rozumíme *dírou* kružnici v grafu ležící v klastř K takovou, že v na-
85 kreslení γ_K je uvnitř nakreslení kružnice vrchol nepatřící do klastř K .

86 Větu uvedeme zvlášť pro nakreslenou verzi a zvlášť pro nenakreslenou
87 verzi.

88 **Věta 1.7.** *Mějme nakreslenou verzi klastrové rovinnosti. Nakreslený klast-*
89 *rový graf (G, \mathcal{C}) je klastrově rovinný právě tehdy, když existuje nakreslený*
90 *saturátor S takový, že $(G \cup S, \mathcal{C})$ nemá díru.*

91 **Věta 1.8.** *Mějmene nakreslenou verzi klastrové rovinnosti. Klastrový graf*
92 *(G, \mathcal{C}) je klastrově rovinný právě tehdy, když existuje saturátor S takový, že*
93 *$G \cup S$ má rovinné nakreslení, v němž není díra vzhledem k $(G \cup S, \mathcal{C})$.*

94 1.1 Aplikace klastrové rovinnosti

95 Klastrová rovinnost nachází aplikaci například při vizualizace různých sítí,
96 grafů, apod., kde je potřeba seskupovat uzly (vrcholy, ...) do celků.

97 Kapitola 2

98 Rešerše

99 V této kapitole seznámíme se známými výsledky v oblasti klastrové rovin-
100 nosti. Jedná se o výsledky, kde pro omezenou verzi klastrové rovinnosti je
101 znám polynomiální deterministický algoritmus pro otestování klastrové ro-
102 vinnosti, případně je znám i algoritmus pro nakreslení.

103 **Věta 2.1.** *Mějme klastrový graf (G, \mathcal{C}) , kde každý klast $K \in \mathcal{C}$ je sou-*
104 *vislý. Pak existuje lineární deterministický algoritmus rozhodující zda (G, \mathcal{C})*
105 *je klastrově rovinný.*

106 Viz [1]

107 Tento výsledek užijeme později při konstrukci lineární nedeterministic-
108 kého algoritmu pro obecné klastrové grafy (viz kapitola Složitost).

109 Před uvedením dalšího výsledku uvedeme jednu definici tak zvaného úplně
110 souvislého klastrové grafu

111 **Definice 2.2.** Klastrový graf (G, \mathcal{C}) je *úplně souvislý*, pokud pro každý klast
112 $K \in \mathcal{C}$ je K souvislý a $V \setminus K$ je souvislý.

113 **Věta 2.3.** *Úplně souvislý klastrový graf (G, \mathcal{C}) je klastrově rovinný $\iff G$*
114 *je rovinný.*

115 Rovinnost lze rozpoznávat v lineárním čase. A navíc je i možné získat v
116 tomto případě v lineárním čase klastrové nakreslení. Viz [2]

117 **Věta 2.4.** *Mějme klastrový graf (G, \mathcal{C}) a nakreslení grafu G . Pokud každý*
118 *klast $K \in \mathcal{C}$ indukuje nejvýše dvě komponenty, pak existuje lineární algo-*
119 *ritmus pro rozhodnutí, zda (G, \mathcal{C}) je klastrově rovinný.*

120 Viz [3]

121 **Věta 2.5.** *Všechny nesouvislé klastry leží na stejné cestě začínající v kořeni*
122 *klastrové hierarchie. Pak pro klastrový graf (G, \mathcal{C}) lze v kvadratickém čase*
123 *rozhodnout, zda je klastrově rovinný.*

124 **Věta 2.6.** *Mějme klastrový graf (G, \mathcal{C}) . Pro každý nesouvislý klastř $K \in \mathcal{C}$*
125 *platí, že jeho rodič a sourozenci v klastrové hierarchii jsou souvislé klastry.*

126 Pro obě věty viz [4]

127 **Věta 2.7.** *Mějme klastrový graf (G, \mathcal{C}) . Každý nesouvislý klastř K má sou-*
128 *vislého rodiče a souvislé komponenty K mají napojení mimo rodiče. Pak je*
129 *algoritmus pracující v polynomiálním čase rozhodující o klastrově rovinnosti*
130 *a dávající klastrové nakreslení v případě kladné odpovědi.*

131 Viz [5]

132 Další výsledky se týkají tak zvaných placatých klastrových grafů

133 **Definice 2.8.** Klastrový graf (G, \mathcal{C}) je *placatý* pokud všechny klastry kromě
134 kořene (klastř obsahující všechny vrcholy) mají jako rodiče kořen (jednovr-
135 cholové klastry ignorujeme).

136 **Věta 2.9.** *Mějme placatý klastrový graf (G, \mathcal{C}) , kde G je kružnice. Pokud*
137 *každý klastř obsahuje nejvýše tři vrcholy, pak lze v polynomiálním čase roz-*
138 *hodnout, zda je (G, \mathcal{C}) klastrově rovinný.*

139 Viz [6]

140 **Věta 2.10.** *Mějme placatý klastrový graf (G, \mathcal{C}) , kde G je kružnice. Pokud*
141 *klastry jsou uspořádané do cyklu nebo cesty, pak lze v polynomiálním čase*
142 *rozhodnout, zda je (G, \mathcal{C}) klastrově rovinný.*

143 Viz [7]

144 **Věta 2.11.** *Mějme placatý klastrový graf (G, \mathcal{C}) , kde G je kružnice. Pokud*
145 *klastry jsou uspořádané do nakresleného rovinného grafu, pak lze v polyno-*
146 *miálním čase rozhodnout, zda je (G, \mathcal{C}) klastrově rovinný.*

147 Viz [8]

148 **Věta 2.12.** *Mějme placatý klastrový graf (G, \mathcal{C}) , kde G je 3-souvislý a všechny*
149 *stěny mají velikost nejvýše 4, pak lze v polynomiálním čase rozhodnout, zda*
150 *je (G, \mathcal{C}) klastrově rovinný.*

151 Viz [6]

152 **Věta 2.13.** *Mějme placatý klastrový graf (G, \mathcal{C}) , kde všechny stěny mají ve-*
153 *likost nejvýše 5 a mějme pevné nakreslení grafu G , pak lze v polynomiálním*
154 *čase rozhodnout, zda je (G, \mathcal{C}) klastrově rovinný.*

155 Viz [9]

156 **Věta 2.14.** *Mějme klastrový graf (G, \mathcal{C}) , kde klastry mají velikost nejvýše*
157 *3 (kromě kořene) a G je vrcholově 3-souvislý, pak lze v polynomiálním čase*
158 *rozhodnout, zda je (G, \mathcal{C}) klastrově rovinný.*

159 Viz [6]

160 **Věta 2.15.** *Mějme klastrový graf (G, \mathcal{C}) , kde klastry mají velikost nejvýše*
161 *3 (kromě kořene) a G je dělení vrcholově 3-souvislého multigrafu, který má*
162 *$\mathcal{O}(1)$ vrcholů, a G má všechny stupně sudé, pak lze v polynomiálním čase*
163 *rozhodnout, zda je (G, \mathcal{C}) klastrově rovinný.*

164 Tamtéž.

Kapitola 3

Složitost

V této kapitole ukážeme několik výsledků ohledně časové a prostorové složitosti. Problém klastrové rovinnosti patří do třídy NP z pohledu časové složitosti a z hlediska prostorového se dá řešit v prostoru $\mathcal{O}(n)$ na deterministickém stroji, kde n je počet vrcholů.

Jako výchozí model uvažujeme RAM s logaritmickou velikostí paměťových buněk vzhledem k velikosti vstupu a jednotkovou cenou za aritmetické operace s čísly, případně jeho nedeterministickou verzi nRAM. Tedy s polynomiálně velkými čísly lze uložit a operovat s nimi v konstantním prostoru a čase. Je to standardní model u tohoto typu problémů, díky němuž lze říci, že graf s n vrcholy a m hranami je uložen v prostoru $\mathcal{O}(n + m)$.

3.1 Datová reprezentace

Nejprve uvedeme možnosti reprezentace klastrového grafu a ujasníme vzhledem k čemu budeme vztahovat příslušnou složitost. Pro reprezentaci klastrové hierarchie se nabízí dvě možnosti.

1. Seznamy vrcholů
2. Strom, kde listy představují vrcholy a vnitřní uzly představují klastry
 - Zde předpokládejme, že kořen tohoto stromu reprezentuje klastr obsahující všechny vrcholy a listy přísluší vrcholům

185 V této kapitole budeme několikrát hovořit o maximálních podklastrech
 186 (vzhledem na inkluzi) v nějakém klastru K . Proto si zavedeme následující
 187 definici.

188 **Definice 3.1.** Pod *maximálním podklastrem vzhledem ke klastru K* myslíme
 189 klaster takový, že je přímým potomkem K v klastrové hierarchii.

190 Nejprve musíme určit, kolik klastrů se v klastrové hierarchii může nachá-
 191 zet. Pro zjednodušení budeme předpokládat, že v klastrové hierarchii máme
 192 vždy klaster obsahující všechny všechny vrcholy a každá jednovrcholová mno-
 193 žina je též klastrem v klastrové hierarchii.

194 **Tvrzení 3.2.** *Maximální počet klastrů v grafu G s n ($n \geq 1$) vrcholy je $2n - 1$.*

195 *Důkaz.* Důkaz indukci podle n :

196 Základ indukce : $n=1$

197 Zjevně platí.

198 Indukční předpoklad: Tvrzení platí pro $|V| < n$.

199 Indukční krok:

200 Díky předpokladům víme, že klaster, který obsahuje aspoň dva vrcholy, má
 201 aspoň dva maximální podklastry.

202 Máme graf s n vrcholy. Podle předpokladu máme klaster K obsahující všechny
 203 vrcholy. Ten obsahuje k vzájemně disjunktních maximálních podklastrů. Ve-
 204 velikost i -tého klastru nechť je k_i . Každý z těchto klastrů obsahuje méně než n
 205 vrcholů. Platí pro ně tedy indukční předpoklad. Máme tedy:

$$206 \# \text{ max. počet klastrů } = 1 + \sum_{i=1}^k (2 * k_i - 1) = 1 + 2 * \sum_{i=1}^k k_i - k = 2n - k + 1$$

207 K maximalizování dojde pokud bude vždy $k = 2$. □

208 Velikost grafu na vstupu je $\mathcal{O}(n + m + |\mathcal{C}|)$, \mathcal{C} je klastrová hierarchie
 209 a $|\mathcal{C}|$ její velikost. První varianta reprezentace klastrové hierarchie má za
 210 následek, že klastrová hierarchie zabírá prostor až $\mathcal{O}(n^2)$. Příkladem takové
 211 klastrové hierarchie je graf, kde klastry jsou postupně do sebe vnořené. První
 212 klaster obsahuje všechny vrcholy, druhý o vrchol méně, třetí o další vrchol,
 213 Druhá varianta reprezentace naproti tomu dává prostor $\mathcal{O}(n)$. Nejvíce
 214 nám tedy o časové a prostorové složitosti problému prozradí, když budeme
 215 složitost vyjadřovat vzhledem k počtu vrcholů vstupního grafu. Dostali jsme,
 216 že klastrový graf (G, \mathcal{C}) , kde G je rovinný graf, lze reprezentovat v prostoru
 217 $\mathcal{O}(n)$.

218 Dále v textu budeme pracovat výhradně se stromovou reprezentací klastrové
 219 hierarchie.

220 3.2 časová složitost

221 Hlavním výsledkem této části je lineární nedeterministický algoritmus pro
222 klastrovou rovinnost.

223 **Tvrzení 3.3.** *Problém rozhodnutí existence rovinného klastrového nakreslení*
224 *patří do třídy NP.*

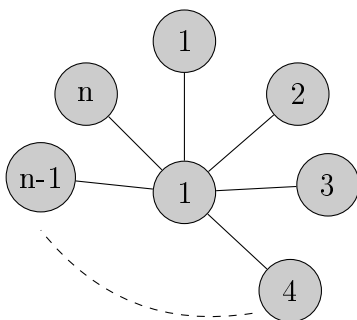
225 *Důkaz.* Využíváme toho, že ekvivalentním problémem ke klastrové rovinnosti
226 je existence saturátoru. Ten nám zajistí, že klastry jsou souvislé. Saturá-
227 tor dostaneme jako certifikát. Vzhledem k tomu, že klastrů je polynomiálně
228 mnoho, tak ověření saturátoru se dá provést v polynomiálním čase (například
229 otestováním souvislosti každého klastru zvlášť). Dále jsou algoritmy testující
230 klastrovou rovinnost v polynomiálním čase (TODO doplnit reference), pokud
231 klastry jsou souvislé. \square

232 **Tvrzení 3.4.** *Pro problém klastrové rovinnosti je nedeterministický algorit-*
233 *mus, jehož časová složitost je $\mathcal{O}(n)$.*

234 *Důkaz.* Důkaz tohoto tvrzení je pouze doplněním důkazu, že klastrová rovin-
235 nost je v NP. Pro důkaz je třeba ukázat, že umíme ověřit souvislost všech
236 klastrů v čase $\mathcal{O}(n)$, a pak že klastrová rovinnost se dá otestovat v lineárním
237 čase pokud jsou klastry souvislé. Druhá část viz (TODO doplnit reference)

238 Prosté otestování všech klastrů zvlášť na souvislost vede na algoritmus s
239 časovou složitostí $\mathcal{O}(n^2)$, protože klastrů je až lineárně mnoho a jejich celková
240 velikost je až kvadratická. Pro zlepšení půjdeme cestou, kdy budeme testo-
241 vat souvislost klastrů od nejmenších k největším. A po otestování klastru
242 na souvislost daný klastř zkontrahujeme do jediného vrcholu, abychom při
243 testování nadklastrů nemuseli opětovně procházet přes vrcholy otestovaného
244 klastru.

245 Při testování klastru na souvislost použijeme klasický algoritmus na tes-
246 tování souvislosti. Hrany, které vedou ven z klastru, si při průchodu si je
247 zapamatujeme, a po doběhnutí testu je aktualizujeme, tedy nasměrujeme je
248 do nového vrcholu vzniklého kontrakcí klastru. Časová složitost pro jeden
249 klastř C je $\mathcal{O}(n_C + m_C + \#\text{počet hran ven z klastru})$, kde n_C je počet vrcholů
250 klastru a m_C je počet hran mezi vrcholy klastru. Problémem je, že tohle
251 stále vede na algoritmus s kvadratickou časovou složitostí (TODO obrázek
252 klastrového klastru dosvědčující tuto složitost). Problémem je, že se hrany
253 můžou aktualizovat příliš často.



Obrázek 3.1: Klastrový graf, pro který poběží kvadraticky dlouho vzhledem k počtu vrcholů algoritmus s aktualizací hran. Je to hvězda, kde i -tý klastr je tvořen vrcholy s čísly nejvýše i . Důvodem neefektivity je to, že kontrakce vždy zasáhne středový vrchol hvězdy a všechny hrany se musí přesměrovat do nového vrcholu vzniklého kontrakcí.

254 Nyní uvedeme algoritmus s lineární časovou složitostí. Ten vychází z před-
 255 chozího pokusu, kde jsme si zdánlivě nepomohli. Pro zlepšení musíme dosáhnout
 256 toho, že hrany opakovaně nenavštěvujeme. To provedeme následovně:
 257 Pro každý klastr budeme mít pomocný graf, kde vrcholy představují maxi-
 258 mální podklastry daného klastru. Hrany v těchto pomocných grafech předsta-
 259 vují hrany jdoucí mezi klastry. Abychom mohli určit, do kterého pomocného
 260 grafu hrana patří, tak potřebujeme určit nejmenší klastr, který sdílí vrcholy
 261 příslušné hrany. Navíc také potřebujeme znát podklastry, kam vrcholy patří.
 262 To je ale problém nejmenšího společného předka v zakořeněném stromu, kdy
 263 potřebné dotazy se provádí v konstantním čase a s lineárním předvýpočtem
 264 a využívající lineární prostor. Jednoduchou úpravou získáme i ty potřebné
 265 informace (ty podklastry). (TODO přidat referenci na LCA a RMQ)

266 Náš algoritmus tedy napřed provede předvýpočet potřebný pro problém
 267 hledání minimálního společného předka, kde se hrany rozdělí do pomocných
 268 grafů. Následně se pro každý pomocný graf provede test souvislosti. První
 269 část algoritmu pracuje v čase $\mathcal{O}(n)$ díky tomu, že umístění hrany do pomoc-
 270 ného grafu umíme provést v konstantním čase a hran je pouze $\mathcal{O}(n)$. Druhá
 271 část algoritmu pracuje v čase $\sum_{C \in \mathcal{C}} (n_C + m_C) = \sum_{C \in \mathcal{C}} n_C + \sum_{C \in \mathcal{C}} m_C \leq |\mathcal{C}| + m =$
 272 $\mathcal{O}(n) + \mathcal{O}(n) = \mathcal{O}(n)$, zde n_C značí počet vrcholů pomocného grafu a m_C
 273 počet jeho hran. \square

274 3.3 prostorová složitost

275 Z výsledků o časové složitosti můžeme říci, že můžeme klatrovou rovin-
276 nost rozhodovat v nedeterministickém prostoru o velikosti $\mathcal{O}(n)$. Ze Savit-
277 chovy věty (doplnit ref) plyne, že v deterministickém prostoru stačí nej-
278 výše prostor velikosti $\mathcal{O}(n^2)$. Lepšího výsledku, ve smyslu, že potřebujeme
279 méně prostoru, dosáhneme využitím vztahu tříd NTIME a DSPACE, který
280 je $NTIME(t(n)) \subseteq DSPACE(t(n))$. Jelikož máme nedeterministický algo-
281 ritmus pro klatrovou rovinnost pracující v lineárním čase, tak díky přede-
282 šlému víme, že existuje deterministický algoritmus využívající pouze lineárně
283 mnoho prostoru.

284 **Tvrzení 3.5.** *Klatrová rovinnost lze rozhodovat na RAMu s lineárně ome-*
285 *zeným prostorem.*

286 *Důkaz.*

□

287 Kapitola 4

288 Minorové operace

289 V této kapitole zavedeme operace s klastrovým grafem, které zachovávají
290 klastrovou rovinnost. V závěru kapitoly zavedeme pojem klastrového minoru
291 jakožto hlavní pojem této kapitoly, jenž v následující kapitole použijeme pro
292 charakterizaci zakázaných minorů omezených problémů klastrové rovinnosti.

293 **Definice 4.1.** (minorové operace) Mějme klastrový graf (G, \mathcal{C}) . Minorové
294 operace na klastrových grafech jsou následující:

295 (Pozn.: Pokud se neřekne jinak, operace se smí provést v nakreslené i
296 nenakreslené verzi)

297 *Odebráním vrcholu v* z klastrového grafu (G, \mathcal{C}) vznikne klastrový graf
298 (G', \mathcal{C}') , kde $G' = (V \setminus \{v\}, E \setminus \{f \mid \text{hrana } f \text{ obsahovala vrchol } v\})$ a \mathcal{C}' je
299 klastrová hierarchie, kde se z klastrů odebere vrchol v , pokud v nich byl.

300 *Odebráním hrany e* z klastrového grafu (G, \mathcal{C}) vznikne klastrový graf
301 (G', \mathcal{C}) , kde $G' = (V, E \setminus \{e\})$.

302 *Odebráním klastru K* z klastrového grafu (G, \mathcal{C}) vznikne klastrový graf
303 (G, \mathcal{C}') , kde $\mathcal{C}' = \mathcal{C} \setminus K$.

304 *Kontrakcí hrany $e = \{x, y\}$* z klastrového grafu (G, \mathcal{C}) vznikne klastrový
305 graf (G', \mathcal{C}) , kde G' je graf, který obdržíme kontrakcí hrany e . Kontrakci
306 můžeme provést za předpokladu, že koncové vrcholy x, y leží ve stejných
307 klastrech.

308 *Nahrazení klastru K o velikosti 2 hranou e* z klastrového grafu klastrového
309 grafu (G, \mathcal{C}) vznikne klastrový graf (G', \mathcal{C}') , kde $G' = (V, E \cup e)$ a $\mathcal{C}' = \mathcal{C} \setminus K$.
310 Nahrazení smíme provést pokud v grafu G' nevznikne minor $K_{3,3}$ nebo K_5 .
311 U nakreslené verze navíc jen pokud to lze provést jednoznačně.

312 *Odebrání vrcholu v z klastru K* z klastrového grafu (G, \mathcal{C}) vznikne klast-
313 rový graf (G, \mathcal{C}') , kde \mathcal{C}' vznikne přeražením vrcholu v z Klastru K do jeho

314 rodiče. Tahle operace lze provést za předpokladu, že z vrcholu v vychází právě
315 jedna hrana ven z K a K je nejmenší (vzhledem k inkluzi) klastř obsahující
316 v .

317 *Sjednocení disjunktních klastřů K_1 a K_2 z klastrového grafu (G, \mathcal{C}) vznikne*
318 *klastrový graf (G, \mathcal{C}') , kde $\mathcal{C}' := (\mathcal{C} \setminus \{K_1, K_2\}) \cup \{K_1 \cup K_2\}$. Sjednocení*
319 *klastřů můžeme provést za předpokladů, že m K_1, K_2 jsou dva minimální*
320 *klastry (nemají podklastry) se společným rodičem, $K_1 \cup K_2$ neindukuje kruž-*
321 *nici s vrcholem mimo $K_1 \cup K_2$ uvnitř. Jinými slovy $K_1 \cup K_2$ nemá díru v G (v*
322 *nakreslené verzi). V nenakreslené verzi je podmínkou, že existuje nakreslení*
323 *takové, že $K_1 \cup K_2$ nemá díru v G . Posledním předpokladem je, že existuje*
324 *hrana spojující K_1 s K_2 .*

325 Název minorové operace je užit proto, že každá operace zjednoduše daný
326 vstupní klastrový graf. Nyní vyzkoumáme dopad minorových operací na
327 klastrový graf, konkrétně na dopad existence klastrového nakreslení.

328 **Definice 4.2.** Mějme klastrově rovinný klastrový graf (G, \mathcal{C}) . Operace s
329 klastrovým grafem OP zachovává klastrovou rovinnost pokud (G, \mathcal{C}) zůstane
330 klastrově rovinný.

331 **Tvrzení 4.3.** *Minorové operace zachovávají klastrovou rovinnost.*

332 *Důkaz.* Mějme klastrový graf (G, \mathcal{C}) a jeho klastrové nakreslení ρ .

333 Odebrání vrcholu, hrany, klastř zachovává klastrovou rovinnost:

334 Mějme dáno klastrové nakreslení. Odebrání hrany zapříčiní jediné to, že se
335 nemusí v daném nakreslení hrana kreslit. Podobně pro odebraný vrchol, kdy
336 se odebere hrany vedoucí do něj. Odebraný klastř se též prostě nenakreslí

337 Kontrakce hrany zachovává klastrovou rovinnost:

338 Mějme dáno klastrové nakreslení. Kontrakce je jen vlastně smrštění hrany do
339 jediného bodu, jenž zastupuje vrchol vzniklý kontrakcí.

340 Nahrazení klastř hranou zachovává klastrovou rovinnost:

341 Stačí si uvědomit, že takový klastř se chová jako hrana. V nakreslené verzi
342 je požadavek na jednoznačnost (jen jediná stěna, kde lze hranu dokreslit),
343 protože by jinak se mohlo stát nahrazením klastř hranou, že vznikne díra.

344 Odebrání vrcholu z klastř zachovává klastrovou rovinnost:

345 Jednoduchý překreslovací argument, kdy podél hrany protáhneme hranici
346 klastř až ji přetáhneme přes vyjímání vrchol. (TODO dát ilustrativní ob-
347 rázek)

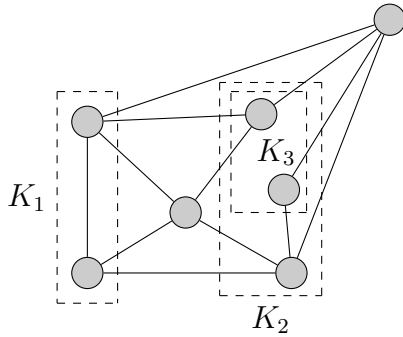
348 Sjednocení klastř zachovává klastrovou rovinnost:

349 Nechť S je minimální saturátor (G, \mathcal{C}) takový, že $(G[V, E \cup S], \mathcal{C})$ nemá díru.

350 S je saturátorem i pro klastrový graf (G, \mathcal{C}') , kde ale může být díra. Necht'
 351 existuje minimální saturátor $S' \subseteq S$ takový, tvrdíme že $(G[V, E \cup S'], \mathcal{C})$ nemá
 352 díru. To dokážeme sporem.

353 Necht' D je díra. Ta musí být ve sjednocení klastrů K_1 a K_2 , neboť kdyby
 354 byla jinde, bylo by to ve sporu s předpokladem, že původní klastrový graf
 355 je klastrově rovinný. Díra D má neprázdný průnik se saturátorem S' . Kdyby
 356 průnik byl prázdný, znamenalo by to, že příslušná díra byla v původním
 357 klastrovém grafu. Označme tuto hranu $e = \{x, y\}$, kde x a y jsou její koncové
 358 vrcholy. Jako S'' označme $S' \setminus e$. Množina S'' je saturátorem, protože každý
 359 klastr $K \in \mathcal{C}'$ obsahující vrcholy x a y obsahuje i cestu $D \setminus \{e\}$. Dostali jsme
 360 tedy spor s minimalitou S' . S' tedy neobsahuje díry. \square

361 Sjednocení klastrů má dost předpokladů, a proto uvedeme proč jsou
 362 tyto předpoklady nutné. Předpoklad o společném rodiči je z důvodu zacho-
 363 vání klastrové hierarchie. Následující příklad klastrové grafu ukazuje, proč je
 364 nutný předpoklad o tom, že sjednocované klastry nesmějí mít podklastry.



Obrázek 4.1: Klastř K_3 brání sjednocení klastrů K_1 a K_2 , neboť jeho saturování (nahrazení hranou) by v $K_1 \cup K_2$ vznikla díra. Kdybychom vynechali K_3 , pak už je snadné najít klastrové nakreslení.

365 Nyní se podíváme na dva speciální případy sjednocení klastrů. Jeden pří-
 366 pad je přidání vrcholu do klastru, který je vlastně inverzí k odebrání vrcholu
 367 z klastru.

368 **Tvrzení 4.4.** *Připojení vrcholu do klastru*

369 (G, \mathcal{C}) nakreslená instance klastrové rovinnosti, $v \in V(G)$ a $K \in \mathcal{C}$.

370 $\mathcal{C}' = (\mathcal{C} \setminus \{K\}) \cup \{K \cup \{v\}\}$

371 1. *v sousedí s K (je spojen s nějakým vrcholem v K hranou)*

372 2. *Každý klastř obsahující v obsahuje i K*

373 3. *K nemá podklastř*

374 4. *$K \cup \{v\}$ neindukuje kružnici s vrcholem mimo K uvnitř*

375 *Potom (G, \mathcal{C}) je klastrově rovinný $\implies (G, \mathcal{C}')$ je klastrově rovinný.*

376 *Důkaz.* Jednoduše, budeme vrchol vydávat za jednovrcholový klastř. Zbytek
377 plyne z toho, že sjednocení zachovává klastrovou rovinnost. \square

378 Podobně pro nenakreslenou verzi. Druhý případ je, když klastř spojuje
379 právě jedna hrana.

380 **Tvrzení 4.5.** *Mějme klastrový graf (G, \mathcal{C}) a dva disjunktní klastř K_1 a K_2 ,
381 které spojuje právě jedna hrana e . K_1 a K_2 mají společného rodiče a nemají
382 podklastř. Mějme klastrový graf (G, \mathcal{C}') , kde $\mathcal{C}' := (\mathcal{C} \setminus \{K_1, K_2\}) \cup \{K_1 \cup K_2\}$.
383 Potom (G, \mathcal{C}) je klastrově rovinný $\implies (G, \mathcal{C}')$ je klastrově rovinný.*

384 *Důkaz.* Jednoduchý překreslovací argument, kdy podél hrany e protáhneme
385 hranici klastř, viz obrázek. Jelikož je G rovinný, tak se s hranou e žádná
386 jiná hrana nekříží, proto lze provést to překreslení. Požadavek na podklastř
387 zajišťuje, že nakreslení klastř $K_1 \cup K_2$ se neprotne s jiným klastřem. \square

388 Vyzbrojení minorovými operacemi můžeme definovat pojem klastrového
389 minoru

390 **Definice 4.6.** Mějme klastrový graf (G, \mathcal{C}) . Klastrový graf (G', \mathcal{C}') je klastro-
391 vým minorem, pokud jej lze získat konečnou posloupností minorových operací
392 z klastrového grafu (G, \mathcal{C}) .

393 **Důsledek 4.7.** *Klastrový minor klastrově rovinného klastrového grafu je
394 klastrově rovinný.*

395 *Důkaz.* Důkaz se provede indukcí podle délky posloupnosti, kde se využije
396 toho, že minorové operace zachovávají klastrovou rovinnost. \square

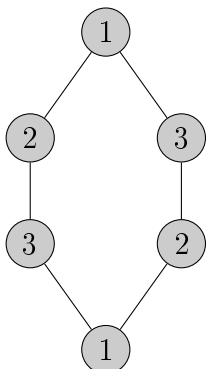
397 Kapitola 5

398 Speciální instance

399 V této kapitole se podíváme na omezené instance klastrové rovinnosti. Klastrová
400 rovinnost se dá omezit dvěma způsoby. Jednak omezením, jaké grafy budeme
401 uvažovat, a jednak omezením klastrové hierarchie. První omezenou třídou
402 klastrových grafů jsou kružnice s klastry velikosti 2 a druhou třídou budou
403 cesty s klastry velikosti 2. Uvedeme věty o počtu zakázaných minorů.

404 5.1 Kružnice s klastry velikosti 2

405 Hlavním výsledkem této části je výsledek ukazující, že jediným zakázaným
406 minimálním minorem pro kružnice s klastry velikosti 2 je šesticykus se třemi
407 klastry, kde se vrcholy střídají v jakém klastru jsou (viz následující obrázek).
408 Výsledek je jak pro nakreslenou, tak i nenakreslenou verzi.



Obrázek 5.1: Čísla označují, do jakého klastru vrchol patří. Dále v textu bude tento graf označován jako C_6^Z , kde Z značí, že se jedná o zakázaný minor

409 **Věta 5.1.** *Instance (G, \mathcal{C}) je klastrově rovinná $\iff (G, \mathcal{C})$ neobsahuje C_6^Z*
 410 *jako minor .*

411 Před důkazem věty ukážeme, že C_6^Z není klastrově rovinný.

412 **Lemma 5.2.** C_6^Z není klastrově rovinný.

413 *Důkaz.* Důkaz provedeme pro nenakreslenou verzi. Jelikož klastry jsou veli-
 414 kosti 2, můžeme nahrazovat klastry hranami. Nahrazení všech klastrů hra-
 415 nami však vede přímo na $K_{3,3}$. A protože $K_{3,3}$ není rovinný graf, tak ne-
 416 může C_6^Z klastrově rovinný. Poslední nahrazení klastru hranou tedy nelze
 417 provést \square

418 U kružnice můžou saturátorové hrany vést pouze vnitřkem nebo vnějškem
 419 (myšleno v nakreslení). Pro dvě hrany ze saturátoru má smysl se bavit o tom,
 420 zda mohou vést na stejné straně kružnice nebo nikoliv. To nás vede k pojmu
 421 grafu konfliktů, který reprezentuje konflikty mezi hranami ze saturátoru.

422 **Definice 5.3.** Graf konfliktů je reprezentací konfliktů saturátorových hran,
 423 kde vrcholy jsou klastry a hrany představují konfliktní klastry. Klastry $\{x_1, x_2\}$
 424 a $\{y_1, y_2\}$ mají spolu konflikt, pokud se na kružnici vyskytují v následujícím
 425 pořadí $x_1, \dots, y_1, \dots, x_2, \dots, y_2, \dots$. Graf konfliktů pro klastrový graf (G, \mathcal{C}) bu-
 426 deme značit $GK_{(G, \mathcal{C})}$

427 Získáme ihned kritérium, kdy kružnice s klastry velikosti 2 je klastrově
 428 rovinný graf. Je to právě tehdy, když graf konfliktů je bipartitní. Dokážeme
 429 si to jako lemma.

430 **Lemma 5.4.** *Kružnice s klastry velikosti 2 je klastrově rovinná právě tehdy,*
 431 *když graf konfliktů je bipartitní.*

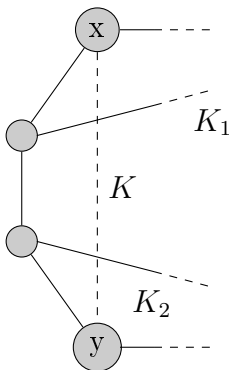
432 *Důkaz.* Klastř, jenž je tvořen sousedními vrcholy, zjevně nemůže být podle
 433 definice s jiným klastrem v konfliktu. Vrchol příslušného klastru v grafu kon-
 434 fiktů je izolovaný. Stačí tedy uvažovat, že vrcholy v klastru nejsou soused-
 435 ními.

436 " \implies " Místo klastřů uvažujme hrany saturátoru, ty mohou vést buď
 437 vnitřní stěnou kružnice nebo vnější stěnou kružnice. Hrana v grafu kon-
 438 fiktů vede mezi jeho vrcholy právě tehdy pokud saturované hrany příslušných
 439 klastřů vedou různými stěnami. To proto, že podle definice konfliktu, kdyby
 440 vedly stejnou stěnou, tak by se musely křížit, což by byl spor s tím, že máme
 441 klastrově nakreslení. Pokud jako partity označíme klastry, jež vedou buď
 442 vnější stěnou (jedna partita) nebo vnitřní stěnou (druhá partita). Izolované
 443 vrcholy dáme libovolně někam.

444 Opačná implikace je ten samý argument jen obrácené pořadí. \square

445 Uvedeme ještě jedno lemma, ukazující vztah mezi kružnicí v grafu kon-
 446 fiktů a odpovídající strukturou v klastrovém grafu.

447 **Lemma 5.5.** *Nechť (G, \mathcal{C}) je klastrový graf, G je kružnice a \mathcal{C} má klastry*
 448 *velikosti 2. Nechť Q je kružnice v grafu konfliktů $GK_{(G, \mathcal{C})}$, $K = x, y$ klastř*
 449 *obsažen v Q . Nechť A, B jsou dvě cesty v G spojující x, y a nechť K_1, K_2 jsou*
 450 *sousedě K v Q , pak BÚNO jediné dva vrcholy v A jsou z klastřů K_1 a K_2 (po*
 451 *jednom vrcholu z každého klastru a zbylé vrcholy leží v B .*



Obrázek 5.2: Znázornění, čemu odpovídá kružnice v grafu konfliktů. Nalevo od K je část A, napravo je část B.

452 Struktura v klastrovém grafu, která odpovídá kružnici v grafu konfliktů
 453 se jinými slovy „chová slušně a není divoce rozházená po grafu“.

454 *Důkaz.* Sporem předpokládejme, že v části, kde jsou klastry K_1 a K_2 , je ještě
 455 jeden jiný klastř K_3 . Uvažujme procházku z K_1 do K_2 cestou neobsahující K
 456 (tedy přes K_3). Prvním krokem se z K_1 dostaneme do druhé části. Po cestě
 457 ale musíme se vrátit zpět do první části kvůli klastřu K_3 pomocí klastřu K_i
 458 dříve, než se vrátíme pomocí klastřu K_2 . Klastř K_i ale musí být v konfliktu
 459 s klastřem K , což je spor s tím, že K má jen sousedy K_1 a K_2 , K_i by podle
 460 všeho též musel být sousedem K . \square

461 **Tvrzení 5.6.** *Graf konfliktů obsahuje lichou kružnici \implies instance (G, \mathcal{C})*
 462 *obsahuje zakázaný minor C_6^Z .*

463 *Důkaz.* Důkaz indukci podle velikosti liché kružnice. V základu indukce uká-
 464 žeme, že liché kružnici velikosti 3 v grafu konfliktů odpovídá C_6^Z a v indukč-
 465 ním kroku, pak pomocí minorových operací zredukujeme velikost podgrafu
 466 odpovídající liché kružnici o dva klastry.

467 Základ indukce: Mějme trojcyklus v grafu konfliktů. Mějme příslušné
 468 klastry $\{x_1, x_2\}, \{y_1, y_2\}, \{z_1, z_2\}$ Podle definice konfliktů máme následující
 469 pořadí vrcholů:

470 Podle konfliktu klastřů $\{x_1, x_2\}, \{y_1, y_2\}$ je pořadí x_1, y_1, x_2, y_2 .

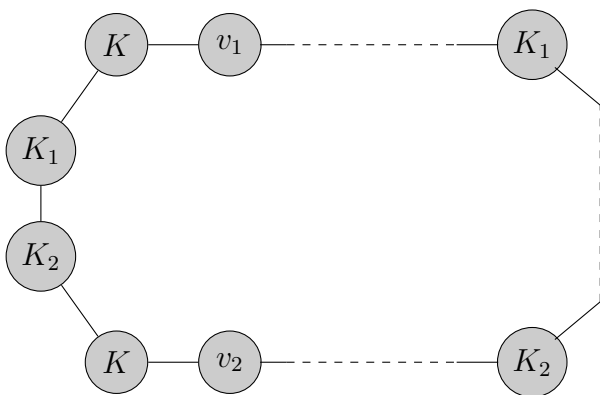
471 Podle konfliktu klastřů $\{y_1, y_2\}, \{z_1, z_2\}$ je pořadí y_1, z_1, y_2, z_2 .

472 Podle konfliktu klastřů $\{x_1, x_2\}, \{z_1, z_2\}$ je pořadí x_1, z_1, x_2, z_2 .

473 Dohromady máme pořadí $x_1, y_1, z_1, x_2, y_2, z_2$, což je C_6^Z . Základ indukce
 474 je tedy dokázaný.

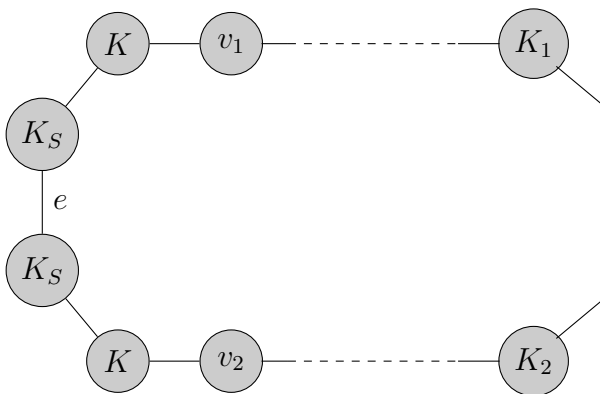
475 Nyní předpokládejme, že chceme dokázat tvrzení pro lichou kružnici ve-
 476 likosti k , a že tvrzení platí pro kružnici o 2 menší.

477 Indukční krok: Podle lemmatu 5.5 máme v (G, \mathcal{C}) strukturu konfliktních
 478 klastřů odpovídající liché kružnici v grafu konfliktů. Předpokládejme, že jsme
 479 si (G, \mathcal{C}) zjednodušili pomocí minorových operací tak, že nemáme nic jiného
 480 než klastry získané z liché kružnice v grafu konfliktů.



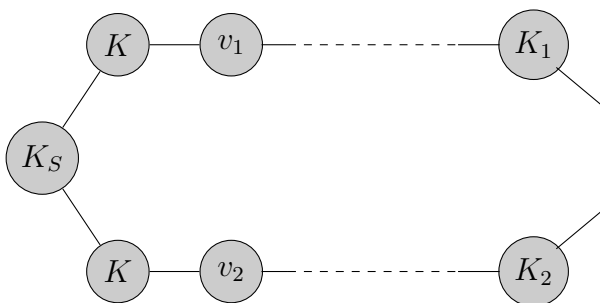
Obrázek 5.3: Výchozí stav, v_1, v_2 jsou sousedé vrcholů klastru K

481 Provedeme následující posloupnost minorových operací. Vezmeme předě-
 482 lový klaster K . Klastry jež jsou s ním v konfliktu (K_1 a K_2), můžeme sjednodit
 483 (ubyl jeden klaster). Sjednocený klaster označme K_S



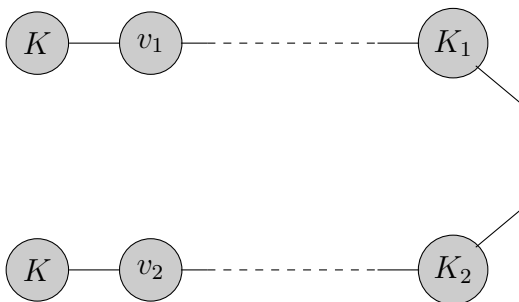
Obrázek 5.4: Sjednocení klastrů K_1 a K_2

484 V části, kde měly vrchol jen oni, tak sdílejí hranu e , tu můžeme po pro-
 485 vedení sjednocení zkontrahovat.



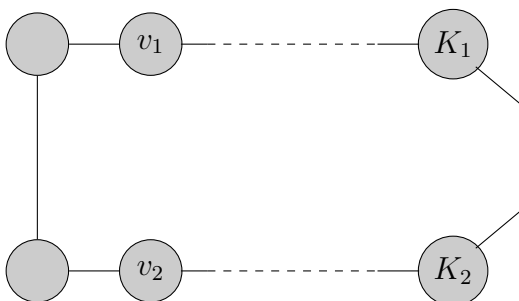
Obrázek 5.5: Kontrakce hrany e

486 Vrchol vzniklý kontrakcí odebereme. Nyní se nám kružnice přerušila.



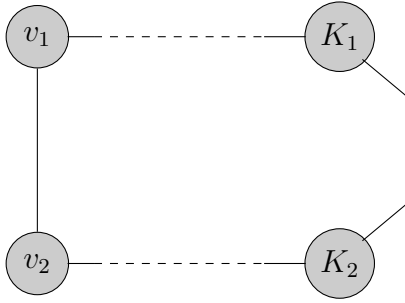
Obrázek 5.6: Odebrání vrcholu vzniklého kontrakcí

487 Přes rozdělení nám vede klastř K , pro nějž máme jedinou možnost, jak jej
488 nahradit hranou, tak to učiníme (jinými slovy, je to korektní i v nakreslené
489 verzi).



Obrázek 5.7: Nahrazení klastru K hranou

490 Tuto hranu můžeme rovnou zkontrahovat a vzniklý vrchol přidáme do jed-
 491 noho z klastrů (opět sjednocení klastrů a ubytí druhého klastru), které s ním
 492 mají sousední vrchol. Hranu, která jej spojovala se sousedem zkontrahujeme.



Obrázek 5.8: Výsledný klastrový graf

493 Vzniklému klastrovému grafu (G', \mathcal{C}') odpovídá v grafu konfliktů lichá
 494 kružnice o velikosti $k - 2$. Tedy (G', \mathcal{C}') obsahuje podle indukčního před-
 495 pokladu C_6^Z jako klastrový minor. A jelikož (G', \mathcal{C}') je minorem (G, \mathcal{C}) , tak
 496 C_6^Z je i minorem (G, \mathcal{C}) , čímž je důkaz hotov. (TODO doplnit o ilustrující
 497 obrázky) \square

498 Nyní již můžeme dokázat hlavní větu této sekce

499 *Důkaz.* věty 5.1.

500 \implies

501 Pokud je (G, \mathcal{C}) klastrově rovinný, tak podle lemmatu 5.4 je graf konfliktů
 502 bipartitní, což je ekvivalentní tomu, že graf konfliktů neobsahuje lichou kruž-
 503 nici, což je podle tvrzení 5.6 dává, že (G, \mathcal{C}) neobsahuje C_6^Z jako minor.

504 \impliedby

505 Dokazujeme sporem, tedy (G, \mathcal{C}) není klastrově rovinný, ale neobsahuje C_6^Z
 506 jako minor. Podle lemmatu 5.4 není graf konfliktů bipartitní, tedy obsahuje
 507 lichou kružnici, což podle tvrzení 5.6 říká, že (G, \mathcal{C}) má jako minor C_6^Z , což
 508 je spor s tím, že jsme předpokládali, že takový minor nemá. \square

509 5.2 Cesty s klastry velikosti 2

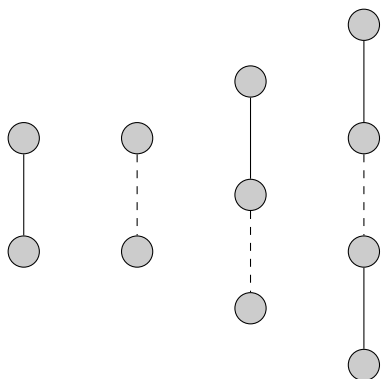
510 Pro cesty uvedeme o něco slabší výsledek, a to že zakázaných minorů je
 511 konečně mnoho.

512 **Věta 5.7.** *Zakázaných minorů pro cesty s klastry velikosti 2 je konečně*
513 *mnoho.*

514 *Důkaz.* Mějme klastrový graf $(G[V, E], \mathcal{C})$. Vezměme saturátor S a zkou-
515 mejme graf $(G[V, E \cup S])$. V tomto grafu mají vrcholy stupeň nejvýše 3. Tudíž
516 zde nemůže být dělení K_5 , ale může být dělení $K_{3,3}$. (TODO příklad klastrové
517 cesty s dělením $K_{3,3}$) Jako minor zde můžou být obě možnosti bránící rovin-
518 nosti. Nám ale stačí, že když graf má dělení $K_{3,3}$, tak má i příslušný minor
519 $K_{3,3}$.

520 Stačí se ptát, jak vypadají spojnice v dělení $K_{3,3}$ a jak je můžeme zredu-
521 kovat pomocí minorových operací. Pomocí minorových operací dosáhneme
522 nejprve, že se zbavíme všeho nepotřebného, tedy vrcholů, hran a klastrů
523 (resp. saturovaných hran) nepodílejících se na dělení $K_{3,3}$. Dále si spojnice
524 zjednodušíme do podoby takové, že to jsou cesty, kde se střídají hrany a
525 klastry. Pokud totiž máme na spojnici více hran za sebou, tak pomocí kon-
526 trakcí se zbavíme nadbytečných hran. Nyní tvrdíme, že spojnice dokážeme
527 zredukovat pomocí minorových operací do jedné z následujících 4 typů:

- 528 1) jedna hrana
- 529 2) jeden klaster
- 530 3) klaster a hrana
- 531 4) hrana, klaster a hrana



Obrázek 5.9: Typy spojníc v dělení $K_{3,3}$. Plná čára představuje hranu, čár-
kovaná znamená klaster.

532 Toho dosáhneme následovně. Pokud máme na spojnici následující situaci,
533 že máme klaster $K_1 = \{x, y\}$, hranu $e = \{y, z\}$ a klaster $K_2 = \{z, w\}$ za sebou
534 viz obrázek 5.10, tak sjednotíme klastry K_1 a K_2 . Ty spojuje právě jedna

535 hrana, takže sjednocení můžeme provést bez problémů. Nyní jen vyhodíme
536 vrcholy y a z a zbyde nám jen klastř $\{x, w\}$. Opakováním tohoto postupu,
537 každou spojnici zredukujeme na jeden z čtyř výše uvedených typů. Grafů,
538 jenž jsou dělením $K_{3,3}$ a mají tyto typy spojnic, je konečně mnoho \square



Obrázek 5.10: Hledaná struktura, která jde zjednodušit pomocí minorových operací

539 Literatura

- 540 [1] Cortese, P.F., Di Battista, G., Frati, F., Patrignani, M., Pizzonia, M.:
541 C-planarity of cconnected clustered graphs. *J. Graph Alg. Appl.* 12(2),
542 225–262 (2008)
- 543 [2] S. Cornelsen and D. Wagner. Completely connected clustered graphs.
544 *Journal of Discrete Algorithms*, 4(2):313–323, 2006.
- 545 [3] V. Jelínek, E. Jelínková, J. Kratochvíl, B. Lidický: Clustered Planarity:
546 Embedded Clustered Graphs with Two-Component Clusters (extended
547 abstract), *Proceedings of Graph Drawing 2008*, LNCS 5417 (2009), 121-
548 132
- 549 [4] Gutwenger, C., Jünger, M., Leipert, S., Mutzel, P., Percan, M., Weiskir-
550 cher, R.: Advances in c-planarity testing of clustered graphs. In: Good-
551 rich, M.T., Kobourov, S.G. (eds.) *GD’02*. LNCS, vol. 2528, pp. 220–235.
552 Springer (2002)
- 553 [5] Goodrich, M.T., Lueker, G.S., Sun, J.Z.: C-planarity of extrovert clus-
554 tered graphs. In: Healy, P., Nikolov, N.S. (eds.) *GD’05*. LNCS, vol. 3843,
555 pp. 211–222. Springer (2006)
- 556 [6] Jelínková, E., Kára, J., Kratochvíl, J., Pergel, M., Suchý, O., Vyskocil,
557 T.: Clustered planarity: Small clusters in cycles and eulerian graphs. *J.*
558 *Graph Alg. Appl.* 13(3), 379–422 (2009)
- 559 [7] P. F. Cortese, G. Di Battista, M. Patrignani, and M. Pizzonia. Clustering
560 cycles into cycles of clusters. *Journal of Graph Algorithms and Applicati-*
561 *ons*, 9(3):391–413, 2005.
- 562 [8] P. F. Cortese, G. Di Battista, M. Patrignani, and M. Pizzonia. On em-
563 bedding a cycle in a plane graph. In *Proceedings of 13th International*

- 564 Symposium on Graph Drawing 2005, volume 3843 of LNCS, pages 49–60.
565 Springer, Heidelberg, 2006.
- 566 [9] Di Battista, G., Frati, F.: Efficient c-planarity testing for embedded flat
567 clustered graphs with small faces. In: Hong, S.H., Nishizeki, T., Quan,
568 W. (eds.) GD'07. LNCS, vol. 4875, pp. 291–302. Springer (2008)